

ПРИЛОЖЕНИЕ

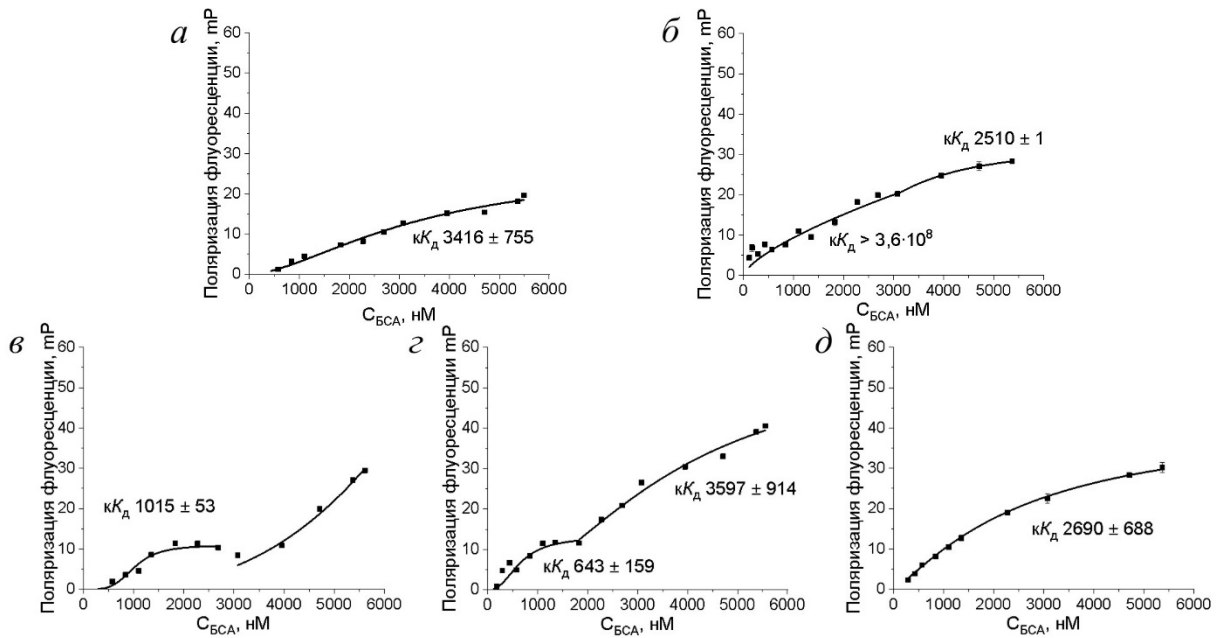


Рис. П1. Концентрационные зависимости изменения поляризации флуоресценции при связывании FAM-меченых ДНК-аптамеров семейства U31 (*а* и *б*) и U2 (*в*–*д*) с избытком БСА: *а* – U31; *б* – GR20; *в* – U2; *г* – U2s, *д* – Goll. Измерения проводились в трёх повторностях; данные показаны как среднее значение \pm SD

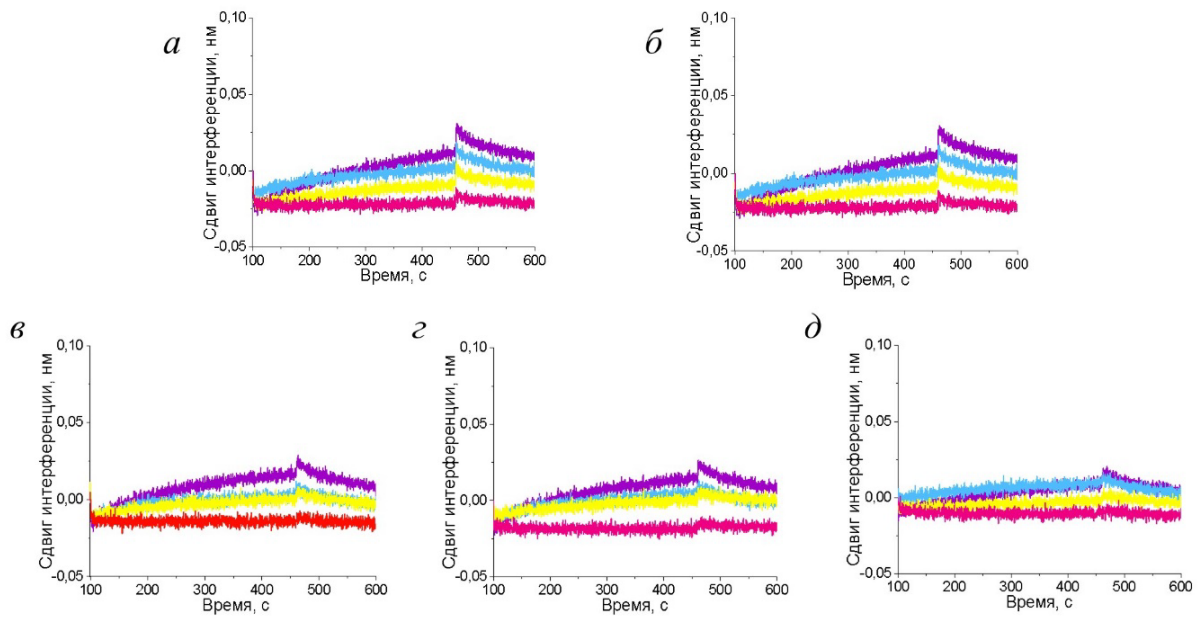


Рис. П2. Сенсограммы, полученные методом ИБС, для иммобилизованных на поверхность сенсора биотинилированных ДНК-аптамеров при отсутствии EGFR*: *а* – U31; *б* – GR20; *в* – U2; *г* – U2s, *д* – Gol1

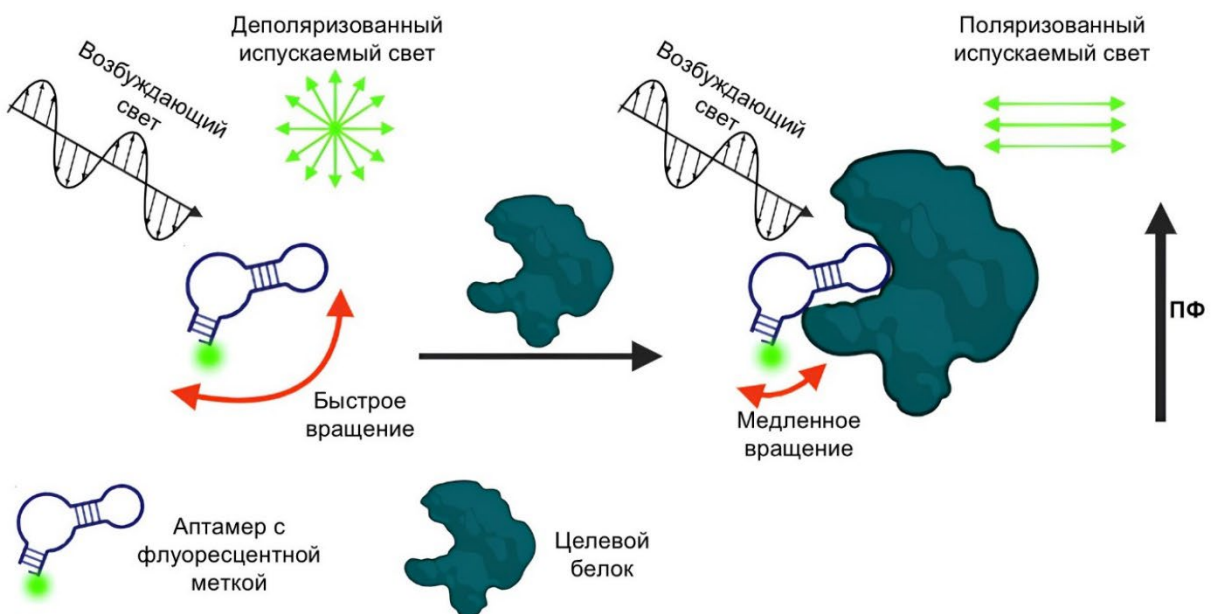


Рис. П3. Схематичное изображение метода измерения поляризации флуоресценции.

Образование комплекса флуоресцентно-меченного аптамера с белком приводит к замедлению вращения флуоресцентной метки и, соответственно, увеличению детектируемой поляризации флуоресценции. Изображение создано с использованием ресурса <https://biorender.com>

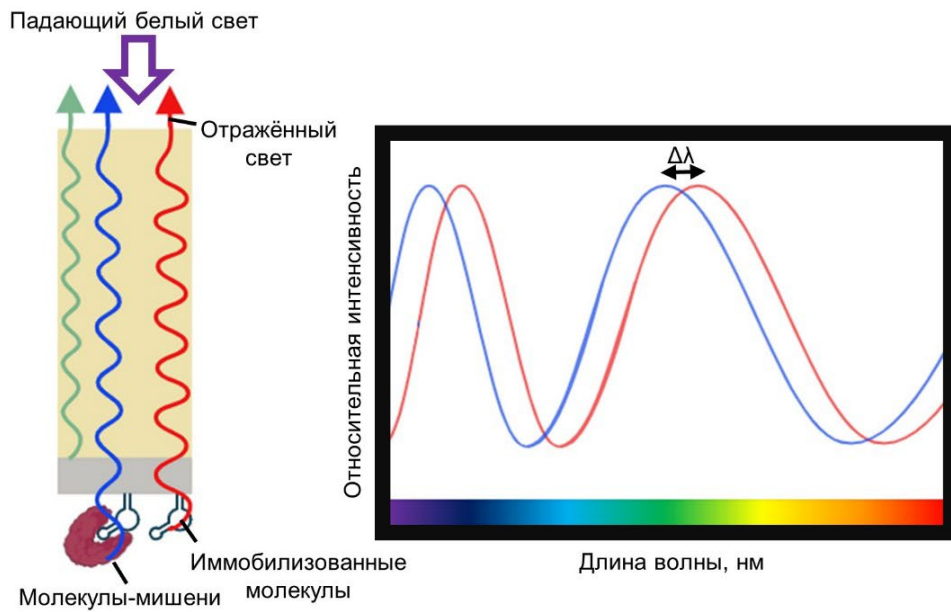


Рис. П4. Схема анализа аффинности методом интерферометрии биослоёв. Образование комплекса иммобилизованного аптамера с белком-мишенью на поверхности сенсора приводит к сдвигу интерференционной картины